

# Második feladat: Hullámvasút

---

**Szirmay-Kalos László**

**BME IIT**

2025

## Revíziók

Dátum	Változások	Verzió
2024. szeptember	Első változat	1.0
2025. február	Magyarázatok, tehetetlenségi nyomaték kiegészítés	1.1

## Tartalom

<b>1. FELADATKIÍRÁS.....</b>	<b>3</b>
<b>2. DINAMIKAI SZIMULÁCIÓ.....</b>	<b>3</b>
<b>3. ELŐFELTÉTELEK.....</b>	<b>7</b>
<b>4. ALAPOK.....</b>	<b>8</b>
<b>4. PROGRAMOZÁS.....</b>	<b>8</b>
4.1. CAMERA OSZTÁLY.....	8
4.2. CSÚCSPONT ÁRNYALÓ.....	8
4.3. PIXELPONT ÁRNYALÓ.....	9
4.4. SPLINE OSZTÁLY.....	9
4.5. GONDOLA OSZTÁLY.....	9
4.6. ONKEYBOARD ESEMÉNYKEZELŐ.....	9
4.7. ONMOUSE ESEMÉNYKEZELŐ.....	9
4.8. ONIDLE ESEMÉNYKEZELŐ: DISZKRÉT IDŐ SZIMULÁCIÓ.....	9

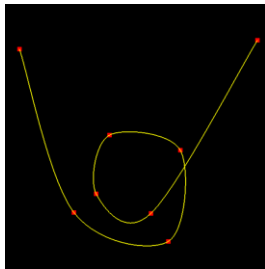
## 1. Feladatkiírás

Ebben a feladatban egy 2D hullámvasút szimulációt kell megvalósítani. A hullámvasút pályája Catmull-Rom spline, amelyet a kontrollpontjai definiálják. **A spline uniform paraméterezésű, azaz a csomóértékek különbsége minden két egymás utáni kontrollpontra ugyanaz. A legelső és legutolsó kontrollpontban az Hermite interpolációhoz használt sebességvektor (azaz a spline paraméter szerinti deriváltja) zérus.**

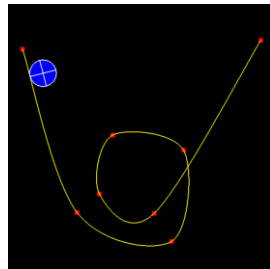
A virtuális kamera egy 20 m x 20 m-es tartományt mutat be. A világban a nehézségi gyorsulás  $g = 40 \text{ m/s}^2$ , iránya pedig a  $-y$  tengely.

A pálya kontrollpontjai az egér balgomb lenyomással hozhatók létre a kurzor helyén. A kontrollpontokat a program piros (RGB=1,0,0) négyzetként (GL\_POINT primitívvel) jeleníti meg. A pontméret 10. Ha legalább két kontrollpont létezik, a kontrollpontokra spline-t illeszt, és azt is megjeleníti, mégpedig sárgával (RGB=1,1,0). A vonalvastagság 3 pixel. A piros kontrollpontok takarják a sárga spline görbét.

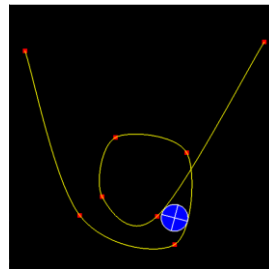
**A SPACE hatására a görbe 0.01 paraméterű pontjából, álló helyzetből indítunk egy kereket.** A kerék kitöltött kék (RGB=0,0,1) színű, **1 m sugarú** körlap fehér (RGB=1,1,1) körvonallal, és legalább két fehér küllővel. A kerék tömege a körvonalon egyenletesen oszlik szét, a tengely és a küllők súlytalanok. A kerék gördül a pályán. **A mozgás sebességvektorát (a görbe érintőjét) analitikusan kell számítani, a közelítő differenciálás nem elegendő pontoságú.** A sín csak nyomni tudja a vasutat, húzni nem, ha ilyen fordulna elő, akkor az azt jelenti, hogy a kocsí lerepült a sínről, és emiatt tetszés szerinti módon el kell tüntetni. Ha a kocsí elindulna visszafelé, akkor a kezdőpontba (a spline legelső kontrollpontja) kell teleportálni, és a szimulációt álló helyzetből indulva újratekdeni.



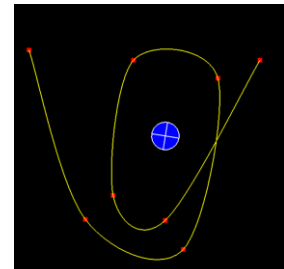
Megrajzolt pálya



Indulás után



Kicsit később



Leestem ☹️

## 2. Dinamikai szimuláció

A feladatot valósídejű dinamikai szimulációval kell megoldani. Ez azt jelenti, hogy az `onTimeElapsed(tstart, tend)` eseménykezelőben az idő múlásával a virtuális világ állapotát fel kell zárkóztatni, azaz a `tstart` időpontban érvényes állapotból kiindulva, a fizikai törvényeket alkalmazva, a `tend` időpillanatban érvényes állapotot kell meghatározni. A hullámvasút feladatban a kerék mozog, tehát annak állapotát kell követni, de ez nem független a pályagörbétől.

Ha egy test merev, azaz a mozgás során nem deformálódik, akkor a mozgása leírható, mint a súlypontjának haladó mozgása, és a súlypont körüli forgás. A súlypont úgy mozog, mintha a teljes tömeg egyetlen pontban volna összesűrítve.

A  $\mathbf{p}(t)$  súlypont pályájának idő szerinti deriváltja a  $\mathbf{v}(t)$  sebesség, a sebesség idő szerinti deriváltja pedig az  $\mathbf{a}(t)$  gyorsulás. A súlypont haladó mozgását a dinamika alapegyenlete, azaz Newton második axiómája határozza meg. Eszerint az  $\mathbf{I} = m\mathbf{v}$  impulzus, más néven lendület, idő szerinti deriváltja a testre ható  $\mathbf{F}$  erővel egyezik meg:

$$\frac{d\mathbf{p}}{dt} = \mathbf{v}, \quad \frac{d\mathbf{I}}{dt} = m \frac{d\mathbf{v}}{dt} = m\mathbf{a} = \mathbf{F}.$$

A forgó mozgás hasonló jellemzőkkel írható le. Az  $\mathbf{L}$  impulzusnyomaték, más néven impulzusmomentum vagy perdület, idő szerinti deriváltja az  $\mathbf{M}$  forgatónyomaték. A párhuzam ellenére háromdimenzióban a forgó mozgás leírása sokkal bonyolultabb, mint a haladó mozgásé. Ennek az az oka, hogy amíg az impulzust a haladómozgás sebességével összekapcsoló tömeg skalármennyiség, addig a perdület a szögsebesség vektor és a tehetetlenségi nyomaték mátrix szorzata, és a pozíció párhuzamként fellépő orientáció sem adható meg egy vektorként (idáig a 3D elfordulást is egy mátrixszal jellemeztük). Szerencsére a feladatunk univerzuma kétdimenziós, ahol az orientációt leíró  $\alpha$  elfordulási szög, az  $\omega$  szögsebesség, a  $\beta$  szöggyorsulás, a  $\Theta$  tehetetlenségi nyomaték, az  $L$  impulzusnyomaték és az  $M$  forgatónyomaték egyaránt skalár, a dinamikai egyenletek pedig:

$$\frac{d\alpha}{dt} = \omega, \quad \frac{dL}{dt} = \Theta \frac{d\omega}{dt} = \Theta\beta = M.$$

A dinamikai szimulációnál a rendszer  $t$ -időpontbeli állapotából a mozgás egyenletek felhasználásával kell a későbbi időpontbeli állapotra következtetni. Az állapot a  $\mathbf{p}$  pozíciót,  $\mathbf{v}$  sebességet,  $\alpha$  elfordulási szöget és  $\omega$  szögsebességet foglalja magában, a számításhoz pedig felhasználjuk a pillanatnyi  $\mathbf{F}$  erőt és  $M$  forgatónyomatékot. Tegyük fel, hogy a  $t + \Delta t$ -időpontbeli állapotra vagyunk kíváncsiak, ahol  $\Delta t$  olyan kicsi, hogy a differenciálhányadosok differenciahányadosokkal közelíthetők:

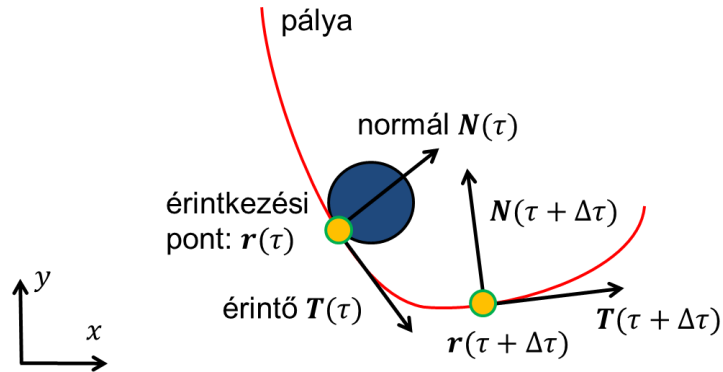
$$\begin{aligned} \mathbf{a} &= \frac{\mathbf{F}}{m}, & \mathbf{v}(t + \Delta t) &\approx \mathbf{v}(t) + \mathbf{a}\Delta t, & \mathbf{p}(t + \Delta t) &\approx \mathbf{p}(t) + \mathbf{v}(t)\Delta t + \frac{1}{2}\mathbf{a}(\Delta t)^2, \\ \beta &= \frac{M}{\Theta}, & \omega(t + \Delta t) &\approx \omega(t) + \beta\Delta t, & \alpha(t + \Delta t) &\approx \alpha(t) + \omega(t)\Delta t + \frac{1}{2}\beta(\Delta t)^2. \end{aligned}$$

Ha az állapotváltozók bármely kombinációja érvényes lehet, akkor szabad mozgásról beszélünk. A hullámvasút példában a kerék mozgása akkor szabad, ha a test már lerepült a pályáról és a nehézségi erőterben kényszerek nélkül zuhan. A súlypont, mint követett pont választásának előnye, hogy az  $\mathbf{F} = m\mathbf{g}$  nehézségi erő nem generál forgatónyomatékot a súlypontra, így a szabad mozgásra vonatkozó egyenletek:

$$\begin{aligned} \mathbf{a} &= \mathbf{g}, & \mathbf{v}(t + \Delta t) &\approx \mathbf{v}(t) + \mathbf{g}\Delta t, & \mathbf{p}(t + \Delta t) &\approx \mathbf{p}(t) + \mathbf{v}(t)\Delta t + \frac{1}{2}\mathbf{g}(\Delta t)^2, \\ M &= \beta = 0, & \omega(t + \Delta t) &\approx \omega(t), & \alpha(t + \Delta t) &\approx \alpha(t) + \omega(t)\Delta t. \end{aligned}$$

A pályán gördülés viszont nem szabad mozgás, hiszen a kényszernek, hogy a kerék érintkezik a pályával és ebben a pontban nem csúszik meg, a lerepülésig érvényesülnie kell. Kényszeres mozgásoknál kényszererők lépnek fel, amelyek éppen akkorák, hogy a mozgás a kényszerfeltételeket kielégítse. A pályán mozgásnál ilyen kényszererő a pálya nyomóereje, amely mindig merőleges a pályára. A lerepülés kulcsa ugyancsak a

kényszererő lesz, mert a pálya csak nyomni tudja a kereket, húzni nem. Tehát, ha a mozgásegyenletek megoldásánál a kényszererő húzásnak adódna, akkor ettől a pillanattól kezdve át kell váltani a szabadesés szimulációjára.



A pályán görbülés kényszerei.

A kényszer formalizálásához vegyünk fel egy derékszögű bázist a kerék és pálya érintkezési pontjában. A bázis egyik egységvektora  $\mathbf{T}$  a pálya érintője, ami a pillanatnyi haladási irányba mutat. Az érintőre merőleges egységvektor pedig az  $\mathbf{N}$  normálvektor, amely a centripetális gyorsulás irányát jelöli ki.

A pályán maradáshoz szükséges centripetális gyorsulás  $v^2\kappa$  ahol  $v$  a test sebessége,  $\kappa$  pedig a pálya görbülete, amely a simulókör sugarának reciproka. A testre az  $m\mathbf{g}$  nehézségi erő és az  $K$  nagyságú  $\mathbf{N}$  normálvektor irányú nyomóerő hat. Az  $K$  kényszererő nagysága abból a kényszerből származtatható, hogy a test a pályán marad, tehát a pályára merőleges eredő erőnek éppen a szükséges centripetális erővel kell megegyeznie:

$$K - m\mathbf{g} \cdot \mathbf{N} = mv^2\kappa \rightarrow K = m(\mathbf{g} \cdot \mathbf{N} + v^2\kappa).$$

A  $K\mathbf{N}$  nyomóerő kiszámításához ismernünk kell a  $v$  sebességet, a pálya  $\mathbf{N}$  normálvektorát és  $\kappa$  görbületét. Legyen a pálya paraméteres egyenlete  $\mathbf{r}(\tau)$ , amely a  $\tau$  függvényében meghatározza, hogy hol érintkezik a kerék a pályával. Az érintkezési pontból a kerék súlypontja, azaz a kör középpontja a normálvektor irányában  $R$  távolságra van, ahol  $R$  a kör sugara:

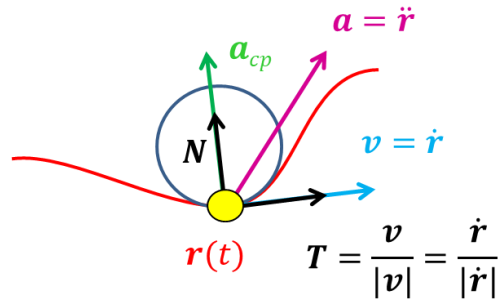
$$\mathbf{p} = \mathbf{r}(\tau) + R\mathbf{N}.$$

A paramétert  $\tau$ -val jelöltük, hogy megkülönböztessük a szimulációs időtől, aminek a jele a  $t$ . A pálya paraméter szerinti deriváltja,  $\dot{\mathbf{r}}(\tau)$ , mindig érinti a pályát, így az egység hosszú  $\mathbf{T}$  érintővektort a derivált normalizálásával kapjuk meg:

$$\mathbf{T} = \frac{\dot{\mathbf{r}}(\tau)}{|\dot{\mathbf{r}}(\tau)|}.$$

Az  $\mathbf{N}$  normálvektor az érintővektor 90 fokkal elforgatottja:

$$\mathbf{N} = (-T_y, T_x).$$



A pálya görbülete.

A pályát követő mozgáshoz szükséges centripetális gyorsulás  $v^2\kappa$ . Eszerint, ha tetszőleges választott dinamika feltételezésével meghatározzuk a centripetális gyorsulást, a görbület ebből a sebesség négyzetével való osztással megkapható. Tekintsük azt a mozgást, amikor a  $t$  idő megegyezik a  $\tau$  paraméterrel. Ekkor a  $\tau$  időpontban fellépő sebesség  $\mathbf{v}(\tau) = \dot{\mathbf{r}}(\tau)$ , a gyorsulás pedig  $\mathbf{a}(\tau) = \ddot{\mathbf{r}}(\tau)$ . A gyorsulás pályára merőleges, azaz normálirányú komponense a centripetális gyorsulás, így annak nagysága  $\mathbf{a} \cdot \mathbf{N}$ . Ezeket összerakva, a görbület kifejezhető a pálya parametrikus egyenletéből:

$$\ddot{\mathbf{r}}(\tau) \cdot \mathbf{N} = |\dot{\mathbf{r}}(\tau)|^2 \kappa \rightarrow \kappa = \frac{\ddot{\mathbf{r}}(\tau) \cdot \mathbf{N}}{|\dot{\mathbf{r}}(\tau)|^2}.$$

A görbület ismeretében a  $K = m(\mathbf{g} \cdot \mathbf{N} + v^2\kappa)$  kényszererő kiszámítható, amelynek az előjele alapján határozhatunk pályán maradásról, illetve a leesésről.

Amennyiben a kerék követi a pályát, nehézségi erőhöz hozzáadva a kiszámolt kényszererőt elvileg használhatnánk a szabad mozgás egyenleteit:

$$\mathbf{a} = \mathbf{g} + \frac{KN}{m}, \quad \mathbf{v}(t + \Delta t) \approx \mathbf{v}(t) + \mathbf{a}\Delta t, \quad \mathbf{p}(t + \Delta t) \approx \mathbf{p}(t) + \mathbf{v}(t)\Delta t + \frac{1}{2}\mathbf{a}(\Delta t)^2.$$

Sajnos ezek a formulák közelítőek, így a test a numerikus hibák miatt minden lépésben távolodna a pályától, azaz a kényszert egyre kevésbé tartanánk tiszteletben. Vegyük észre, hogy ha az érintkezési pontban a pálya  $\tau$  paraméterét ismerjük, abból az érintkezési pont helye, az érintő, azaz a sebességvektor iránya, a normálvektor, és a görbület már egyértelműen meghatározható. Tekintsük tehát a leesésig az elsődleges állapotjellemzőnek a pálya  $\tau$  paraméterét, a  $\tau$  paramétert léptessük az időben, és abból határozzuk meg az érintkezési pontot, sebesség irányt és a görbületet.

Hiányzik még a sebesség nagysága, amelyre két opciónk is van. Tekinthejtük a sebesség nagyságát állapotváltozónak, amit a mozgásegyenletek alapján frissítünk, tudomásul véve, hogy az egyes lépések numerikus hibái összeadódnak. A másik lehetőség az erők helyett az energia követése. Mivel a kényszererő merőleges a sebesség irányára, azaz a pillanatnyi elmozdulásra, az nem végez munkát a testen. Ha a csúszási súrlódástól eltekintünk, a mozgási energia és a helyzeti energia összege állandó. Vagy más szavakkal, a mozgási energia növekménye megegyezik a nehézségi erő munkájával. A mozgási energia a haladó mozgás energiájából és a forgó mozgás energiájából tevődik össze. A helyzeti energia az

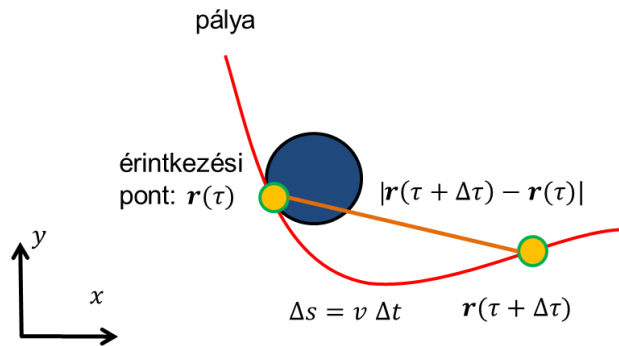
$y(\tau)$  aktuális magasság és a nehézségi gyorsulás szorzata. Ha a mozgás a  $\tau = 0$  paraméterű pontból állásból indult, akkor a teljes mozgási energiának a helyzeti energia csökkenésével kell megegyeznie:

$$\frac{1}{2}mv^2 + \frac{1}{2}\Theta\omega^2 = mg(y(0) - y(\tau)).$$

A  $\Theta$  tehetetlenségi nyomaték attól függ, hogy a tömeg hogyan oszlik szét a testben a forgási tengelytől mért távolság függvényében. Egy  $\rho$  távolságra lévő  $m$  tömegpont tehetetlenségi nyomatéka  $m\rho^2$ , ezt kell integrálással a tömegeloszlásra alkalmazni. Ha a kerék tömege a kör kerületén oszlik szét, akkor  $\Theta = mR^2$ . Ha viszont a tömeg a kerék tengelyében koncentrálódik, akkor  $\Theta = 0$ . A két szélsőérték közötti eseteket egy  $\lambda$  alaktényezővel vehetjük figyelembe és azt mondjuk, hogy a tehetetlenségi nyomaték általános esetben  $\Theta = \lambda mR^2$ . Például, ha a kerék egy homogén lemez volna, akkor  $\lambda = 1/2$ -re adódna.

Figyelembe véve a gördülés kényszerét, a szögsebesség  $\omega = -v/R$ . A tehetetlenségi nyomaték és a szögsebesség behelyettesítésével kapott egyenletet már megoldhatjuk az ismeretlen sebességre:

$$\frac{1}{2}mv^2 + \frac{1}{2}\lambda mR^2\omega^2 = \frac{1+\lambda}{2}mv^2 = mg(y(0) - y(\tau)) \rightarrow v = \sqrt{\frac{2g(y(0) - y(\tau))}{1+\lambda}}.$$



A görbeparaméter és az idő kapcsolata.

A  $\tau$  paraméter tehát a mozgásállapotot teljes mértékben meghatározza, így a szimulációnak azt kell kiszámolnia, hogy  $\Delta t$  kis időlépés alatt a  $\tau$  paraméter milyen  $\Delta\tau$ -val változik. A görbeparaméter és eltelt idő összekapcsolását az időlépés alatt megtett  $\Delta s$  út teremti meg. A sebesség ismeretében egyrészt az út  $\Delta s = v \Delta t$ . Másrészt, az  $\mathbf{r}(\tau)$  és  $\mathbf{r}(\tau + \Delta\tau)$  pontok távolsága is közelítőleg ugyanez az út:

$$\Delta s \approx |\mathbf{r}(\tau + \Delta\tau) - \mathbf{r}(\tau)| \approx |\dot{\mathbf{r}}(\tau)|\Delta\tau \rightarrow \Delta\tau = \frac{\Delta s}{|\dot{\mathbf{r}}(\tau)|} = \frac{v \Delta t}{|\dot{\mathbf{r}}(\tau)|}.$$

### 3. Előfeltételek

Előfeltétel a „Geometriai modellezés” és „Szabadformájú görbék” előadások feldolgozása, valamint a „2d képszintézis” objektum-vezérelt csővezeték ismerete. Javasolt még görbület fogalmának felidézése is.

## 4. Alapok

1. A kameraablakot világkoordináta rendszerben a közepével és a vízszintes/függőleges méretével adjuk meg. Ezekből számítsa ki a kamera View és Projection transzformációs mátrixokat és inverzüket (a mátrixokra szükség lesz a csúcspontárnyaló transzformációs mátrixának beállításához, az inverzre pedig a bemeneti csővezeték implementálása során).
2. Adja meg Catmull-Rom spline  $\mathbf{r}(\tau)$  paraméteres egyenletét és annak  $\dot{\mathbf{r}}(\tau)$  deriváltját a  $\tau$  paraméter szerint. A  $\tau$  paraméter most nem az idő, és nem is a pályán megtett távolság.
3. Határozza meg a csomóértékek értékét abból a feltételből, hogy a spline uniform.
4. A  $\mathbf{r}(\tau)$  Catmull-Rom spline  $\tau$  szerinti deriváltjának felhasználásával adja meg a  $\mathbf{T}$  egység hosszú érintővektort és  $\mathbf{N}$  egység hosszú normálvektort a  $\tau$  függvényében. A két vektor és az aktuális pozíció felhasználásával fejezze ki modellezési transzformációs mátrixot.
5. Fejezze ki a vasút  $v$  pályamenti sebességének nagyságát az energiamegmaradás felhasználásával a  $\tau$  paraméter függvényében.
6. A  $v$  pályamenti sebesség ismeretében adja meg, hogy  $\Delta t$  idő alatt a vasúti kocsi mennyire tolódott el, mennyi paraméter  $\Delta\tau$  megváltozása ezalatt, és a kocsi mennyit fordult a középpontja körül (azaz a  $\mathbf{T}$  mennyit változott). Célszerű a következő közelítés használata a  $\Delta t$  idő alatt megtett útra, ami alatt a paraméter  $\Delta\tau$ -t változik (Ezt kell használni arra, hogy a szimuláció során kapott  $\Delta t$  időlépésből a gondola helyét és állapotát meghatározó  $\tau$  paraméter új értékét megkapjuk a paraméter  $\Delta\tau$ -vel növelésével):

$$|\dot{\mathbf{r}}(\tau)|\Delta\tau \approx |\mathbf{r}(\tau + \Delta\tau) - \mathbf{r}(\tau)| \approx v\Delta t$$

7. A  $v$  pálya menti sebesség valamint a szögsebesség (ami az elfordulási szög és a  $\Delta t$  hányadosa) felhasználásával fejezze ki a mozgáshoz szükséges centripetális gyorsulást, és döntse el, hogy a nehézségi erő normálirányú komponense és a pálya normálirányú nyomóereje kiadhatja-e ezt a centripetális erőt. Ha nem, mert a nyomóerőnek ehhez húznia kellene, akkor a kocsi lerepül a pályáról.
8. Alternatív lehetőségként határozza meg a görbületet az adott pontban, majd a görbület és a sebesség négyzetének szorzatával számítsa ki a centripetális gyorsulást.

## 4. Programozás

### 4.1. Camera osztály

Implementáljon egy Camera osztályt, amely a kamerát világ-koordinátarendszerben a kameraablak középpontjával és vízszintes/függőleges méretével tartja nyilván. A kamera műveletei a View és Projection transzformációk és inverzeik kiszámítása, valamint a bemeneti csővezeték transzformációjának megvalósítása, amely az operációs rendszer pixelkoordinátáiból (a kurzor kapott helye) világkoordinátákba visz át.

### 4.2. Csúcspont árnyaló

A csúcspont árnyaló a kamera által kiszámított Modell-View-Projection mátrixszal transzformálja a csúcspontokat.



### 4.3. Pixelpont árnyaló

A pixelárnyaló az uniform változóként kapott színnel színezi a pixelt.

### 4.4. Spline osztály

A hullámvasút pályájához implementáljon egy Spline osztályt, amely a kontrollpontokat tárolja. A csomóértékeket automatikusan számítja. A kontrollpontok alapján a görbe  $\mathbf{r}(\tau)$  paraméteres egyenletét kiértékeli, és a paramétertartományt 100 kis részre felosztva, a vektorizált görbét dinamikusan a GPU egy VAO/VBO-jába tölti. A Draw hívás hatására a görbét maximális intenzitású sárga színnel és GL\_LINESTRIP primitívtípussal a GPU csővezetéken végigzavarja, majd a kontrollpontokat rajzolja fel maximális intenzitású pirossal és 10-es pontmérettel.

### 4.5. Gondola osztály

A kocsit ábrázoló körhöz vegyen fel egy új osztályt, ami a kékkel kitöltött és fehér kontúrral rendelkező kört és a küllőket tartalmazza, valamint a fizikai animációhoz szükséges változókat, az állapotot (várakozik, indított, leasett), és a pálya referenciáját tartalmazza. A konstruktor a tartalmazott geometriai primitíveket létrehozza. A Start elindítja a kocsit a pályán zérus kezdősebességgel. Az Animate  $dt$  idővel lépteti a kocsit állapotát elvégezve a fizikai animációt. A Draw a pozíciónak és elfordulási szögnek megfelelően beállítja a vertex árnyaló transzformációs mátrixát és felrajzolja a felépítő geometriai primitíveket.

### 4.6. onKeyboard eseménykezelő

Az onKeyboard függvényben SPACE lenyomására indítsa útjára a kocsit.

### 4.7. onMouse eseménykezelő

Az onMouse függvényt implementálja úgy, hogy az operációs rendszerbeli pixelkoordinátákban kapott kurzor pozíciót alakítsa át világkoordinátákká, és a bal egérgomb lenyomásának hatására vegyen fel az aktuális görbének egy újabb kontrollpontot ezen a helyen, végül pedig érvénytelenítse az ablakot (glutPostRedisplay).

### 4.8. onIdle eseménykezelő: diszkrét idő szimuláció

Az onIdle érkezési gyakoriságára nincs garancia, miközben mi a differenciálhányadost a görbület számításánál differenciahányadossal közelítettük, ami kis lépéseknél jó csupán. Ezért, ha az onIdle túl sok idővel kívánja felzárkóztatni a hullámvasút állapotát, akkor az időintervallumot kis lépésekre kell bontani és azokban egyenként végrehajtani az animációt. Például így:

```
void onIdle() { // Idle event indicating that some time elapsed: do animation here
    static float tend = 0;
    const float dt = 0.01; // dt is "infinitesimal"
    float tstart = tend;
    tend = glutGet(GLUT_ELAPSED_TIME) / 1000.0f;
    for (float t = tstart; t < tend; t += dt) {
        float Dt = fmin(dt, tend - t);
        gondola->Animate(Dt);
    }
    glutPostRedisplay(); // redraw the scene
}
```